

РОЗРОБКА МЕТОДИКИ ПРОГНОЗУВАННЯ ЗСУВІВ ІЗ ЗАСТОСУВАННЯМ ГЕОФІЗИЧНИХ МЕТОДІВ

Обґрунтовано доцільність використання комплексної інтегрованої кількісної інтерпретації геолого-геофізичних даних під час прогнозування зсуvinих процесів із застосуванням геофізичних методів. Такий підхід передбачає прогнозування зсуvinих процесів на кількісному ймовірнісному рівні з використанням функції комплексного показника ефективних параметрів, узгоджених із зсуvinою небезпекою. Виділено основний комплекс геофізичних методів дослідження зсуvinих процесів: метод вертикального електричного зондування, метод природного імпульсного електромагнітного поля Землі та метод природного електричного поля. Цей комплекс за необхідності деталізації можна доповнювати додатковими методами: заломлених хвиль, радіохвильового просвічування та еманаційної зйомки. Наведено детальний алгоритм проведення комплексної інтегрованої кількісної інтерпретації геолого-геофізичних даних. Обґрунтовано необхідні для комплексної інтерпретації геолого-геофізичні параметри, принципи трансформації вхідних та вихідних параметрів у ефективні. Геолого-геофізичні параметри узгоджено із зсуvinебезпекою на кількісному рівні.

Ключові слова: комплексна інтегрована кількісна інтерпретація; функція комплексного показника; критерій імовірності розвитку зсуvin; геолого-геофізичні дані; ефективні параметри.

Вступ та постановка проблеми

Беззаперечно, ефективність боротьби зі зсуvinами, як і з будь-якими іншими екзогенними геологічними процесами, значною мірою залежить від можливості обґрунтованого з наукової точки зору передбачення (прогнозування) цих процесів.

Сьогодні геофізичні методи досліджень мають основне значення при просторовому прогнозуванні зсуvinебезпеки на локальному рівні.

Традиційна методика інтерпретації даних геофізичних методів дослідження зсуvinих процесів полягає у складанні результативних карт окремо по кожному параметру та в їх візуальному аналізі. При використанні в межах ділянки досліджень декількох методів звичайно виконується зіставлення даних на описовому візуальному, тобто якісному рівні. При цьому підтвердження аномалій за різними методами розглядається як запорука вірогідного прогнозу, якщо кожна з цих аномалій фізично узгоджується із зсуvinебезпекою [Горянінов и др., 1987; Геофізичний..., 2001].

В загальному випадку, порівняння карт результативних параметрів показує, що однозначності в їх інтерпретації немає. Аномалії за різними методами далеко не завжди узгоджуються між собою, внаслідок чого вірогідність прогнозу зсуvinебезпеки оцінити неможливо. Причину ми бачимо в тому, що зсуvinебезпека часто відображається в геофізичних полях слабкими сигналами, які є співвимірними з фоном завад, що виникають завдяки різним геологічним факторам, а також унаслідок похибок вимірювання.

Це привело до необхідності комплексного підходу до аналізу геолого-геофізичної інформації. Тоді при просторовому прогнозуванні активізації зсуvinих процесів обов'язково слід застосовувати комплексну інтегровану кількісну інтерпретацію геолого-геофізичних даних з розрахунком функції комплексного показника (ФКП) зсуvinих факторів, що в подальшому дає можливість оцінити зсуvinебезпеку на ймовірнісному рівні.

Комплексна інтегрована кількісна інтерпретація геолого-геофізичних даних

Для комплексної інтегрованої кількісної інтерпретації геолого-геофізичних даних при просторовому прогнозуванні активізації зсуvinих процесів необхідно мати дані як мінімум трьох геофізичних методів досліджень зсуvinів [Вахромеев, 1978]. З урахуванням інформативності та витрат на проведення польових робіт, основним комплексом, на нашу думку, слід вважати такі методи: вертикального електричного зондування (ВЕЗ), природного імпульсного електромагнітного поля Землі (ПІЕМПЗ), природного електричного поля (ПЕП) (інколи, при якісній оцінці, метод ПІЕМПЗ може виконувати самостійну функцію). Такий комплекс за необхідності деталізації можна доповнювати додатковими методами: заломлених хвиль (МЗХ), радіохвильового просвічування (РХП) та еманаційної зйомки (ЕЗ).

Вилучення з цього комплексу деякого методу чи додавання нового в принципі не змінює методики подальшої обробки та інтерпретації геолого-геофізичних даних – це питання повинно вирішуватись індивідуально, враховуючи конкретні інженерно-геологічні умови.

Серед параметрів, які визначають зсуvinебезпеку, пропонується розглядати такі групи: вхідні, вихідні та ефективні параметри (рис. 1).

До групи вхідних параметрів (вхідних геолого-геофізичних даних) належать усі можливі параметри, які отримані безпосередньо за даними польових спостережень, первинної обробки чи кількісної інтерпретації даних окремих методів. Для оцінки зсуvinебезпеки слід використовувати такі вхідні параметри, об'єднані у три групи:

- 1) геофізичні – інтенсивності імпульсного електромагнітного випромінювання за різної орієнтації антени J_x та J_y , потенціал природного електричного поля U , питомий електричний опір ρ_i та по тужність h_i геоелектричних горизонтів, швидкість пружних коливань V , напруженість вторинного

електромагнітного поля РХП Hz , інтенсивність випромінювання еманацій радону Rn ;

2) геологічні – потужність потенційно зсувних порід за даними буріння h_δ ;

3) геоморфологічні – альтитуда точок денної поверхні H .

До вихідних параметрів належать ті, що отримані з простих шляхом певних арифметичних

перетворень чи трансформацій вхідних даних: коефіцієнт анізотропії χ за даними ПІЕМПЗ, залишкові аномалії ПЕП $\Delta U_{зал}$, сумарна поздовжня провідність $S_{сум}$, потужність зсувної товщі h , еквівалентний опір зсувної товщі $\rho_{екв}$, опір підстелених порід ρ_{nid} , коефіцієнт інверсії опорів K_{inv} , залишкові аномалії еманацій радону $Rn_{зал}$, кут нахилу денної поверхні α та поверхні ковзання β .

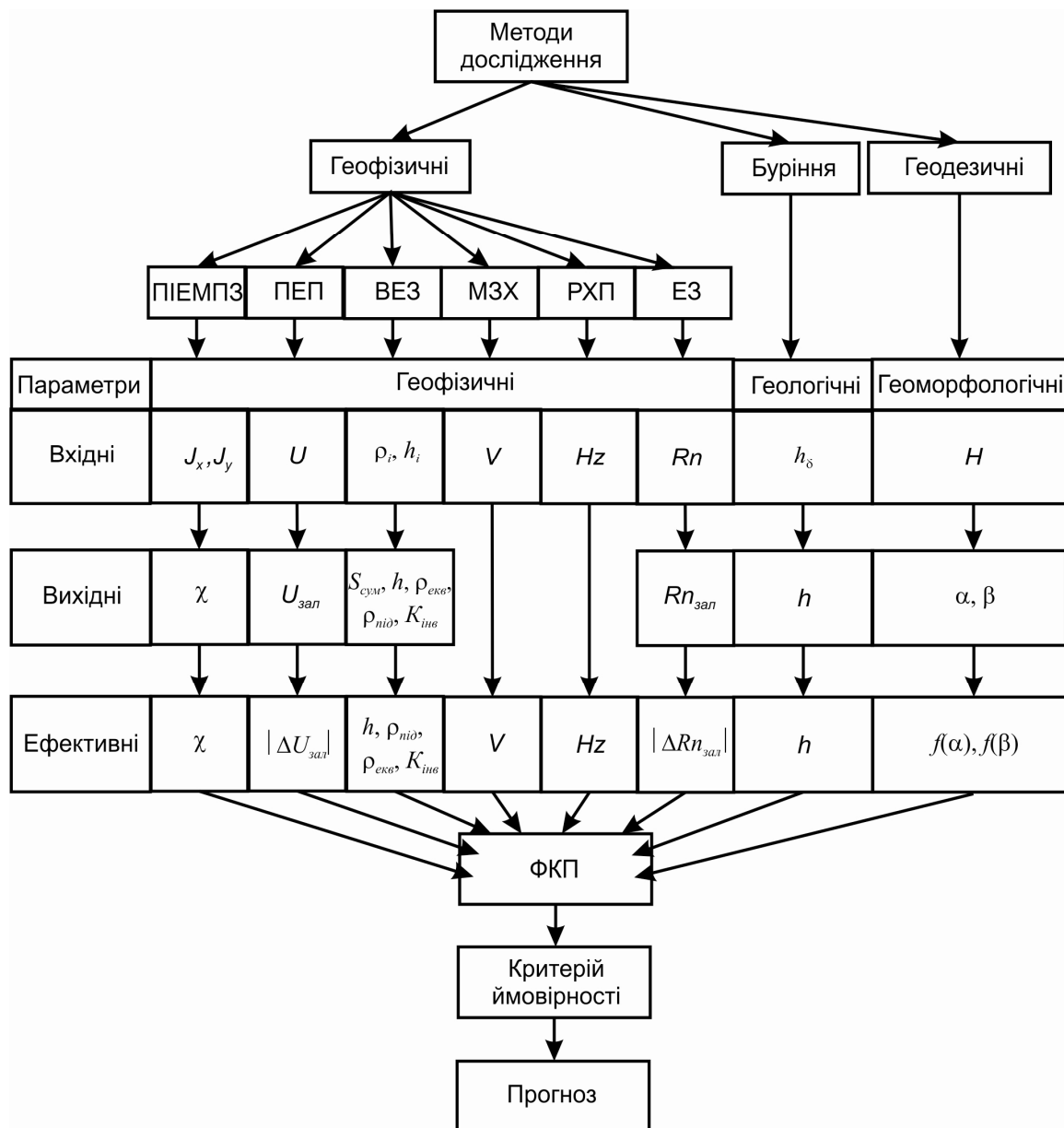


Рис. 1. Узагальнена схема комплексної інтерпретації геофізичних даних під час дослідження зсуви небезпечних ділянок:

J_x, J_y – інтенсивності ПІЕМПЗ за різною орієнтацією антени; U – потенціал ПЕП, ρ_i, h_i – опір і потужність за даними інтерпретації ВЕЗ; V – швидкість пружних коливань для поверхні ковзання МЗХ; Hz – напруженість вторинного електромагнітного поля РХП; Rn – інтенсивність випромінювання еманацій радону; h_δ – потужність пластів за даними буріння; H – абсолютна відмітка денної поверхні; χ – коефіцієнт анізотропії за даними ПІЕМПЗ; $U_{зал}$ – залишкові аномалії ПЕП; $S_{сум}$ – сумарна поздовжня провідність зсувної товщі; h – потужність зсувної товщі; $\rho_{екв}$ – еквівалентний опір зсувної товщі; ρ_{nid} – опір підстелених порід; K_{inv} – коефіцієнт інверсії опорів; $Rn_{зал}$ – залишкові аномалії еманацій радону; α, β – кути нахилу денної поверхні та поверхні ковзання; $|\Delta U_{зал}|$ – абсолютні значення $U_{зал}$; $|\Delta Rn_{зал}|$ – абсолютні значення $Rn_{зал}$; ФКП – функція комплексного показника.

Із зсувионебезпекою пов'язуються ефективні параметри, які безпосередньо її відображають збільшенням чи зменшенням своєї числової величини. До класу ефективних параметрів належать ті параметри, які з фізичного погляду, а також за результатами статистичного обґрунтування, виявилися найефективнішими для прогнозу зсувионебезпеки. Під час обґрунтування ефективних параметрів витримується принцип представлення в комплексній інтерпретації незалежних параметрів (один параметр у групі від одного методу) для того, щоб не надавати окремому методу чи параметру вагової переваги під час формування ФКП. Ефективні параметри не повинні бути комплексними, тобто складатись з комбінацій простих параметрів, які самі по собі можуть відігравати роль ефективних. Для переведу вихідних параметрів у ефективні деякі з них потребують певних трансформацій. До ефективних параметрів належать:

- 1) геофізичні – коефіцієнт анізотропії χ за даними ПІЕМПЗ, абсолютні залишкові значення природних потенціалів $|\Delta U_{\text{зал}}|$, еквівалентний опір зсувиної товщі $\rho_{\text{екв}}$, опір підстелених порід $\rho_{\text{під}}$, коефіцієнт інверсії опорів $K_{\text{інв}}$, швидкість пружних коливань для поверхні ковзання V , напруженість вторинного електромагнітного поля H_z РХП, абсолютні залишкові значення еманацій радону $|\Delta Rn|$;

- 2) геологічні – потужність зсувиних порід h ;

- 3) геоморфологічні – функція густини ймовірності зсуву залежно від кута нахилу денної поверхні $f(\alpha)$.

Доцільним є такий алгоритм проведення комплексної інтегрованої кількісної інтерпретації геолого-геофізичних даних, запропонований у працях [Кузьменко и др., 2002; Кузьменко, 2003] та систематизований і удосконалений у [Крив'юк, 2012] (рис. 1):

1. Підготовка вхідних геолого-геофізичних даних:

- 1.1) трансформація вхідних геолого-геофізичних даних;

- 1.2) первинна статистична обробка вхідних геолого-геофізичних даних;

- 1.3) регуляризація та бланкування вхідних геолого-геофізичних даних.

2. Узгодження геолого-геофізичних параметрів із зсувионебезпекою на кількісному рівні:

- 2.1) визначення ефективних параметрів за даними геолого-геофізичних досліджень:

- 2.1.1) обчислення функції ймовірності зсуву залежно від кута нахилу денної поверхні $f(\alpha)$;

- 2.1.2) розрахунок потужності потенційно зсувиної товщі h та визначення положення прогнозної поверхні ковзання;

- 2.1.3) визначення еквівалентного опору $\rho_{\text{екв}}$ потенційно зсувиної товщі, опору підстелених порід, що мають за покрівлю поверхню ковзання $\rho_{\text{під}}$, коефіцієнта інверсії опорів $K_{\text{інв}}$ та сумарної поздовжньої провідності $S_{\text{сум}}$;

- 2.1.4) визначення коефіцієнта анізотропії електромагнітного поля χ за даними ПІЕМПЗ;

- 2.1.5) визначення абсолютних залишкових значень природних потенціалів $|\Delta U_{\text{зал}}|$;

- 2.1.6) визначення граничної швидкості пружних коливань V для поверхні ковзання;

- 2.1.7) визначення абсолютних залишкових значень еманацій радону $|\Delta Rn|$;

- 2.1.8) визначення напруженості вторинного електромагнітного поля H_z радіохвильового просвічування;

- 2.2) регуляризація та бланкування ефективних параметрів.

3. Кінцева обробка та інтерпретація геолого-геофізичних даних:

- 3.1) визначення законів статистичного розподілу ефективних параметрів та коригування останніх;

- 3.2) кореляційно-регресійний аналіз вихідних і ефективних параметрів;

- 3.3) підтвердження ефективних параметрів, узгоджених із зсувиною небезпекою;

- 3.4) розрахунок функції комплексного показника (ФКП);

- 3.5) оцінка внеску параметрів, визначених на основі інтерпретації даних геолого-геофізичних досліджень, у формування ФКП;

- 3.6) розрахунок критерію ймовірності розвитку зсуви (КЙРЗ);

- 3.7) визначення довірчої нижньої границі критерію ймовірності та виділення аномальних зон, які відповідають зсуви небезпеці;

- 3.8) трансформування розподілу критерію ймовірності зсуви у тривимірну модель.

Підготовка вхідних геолого-геофізичних даних

Основна мета підготовки вхідних геолого-геофізичних даних – створення каталогу вхідних даних у структурі комп’ютерних файлів. Остаточним результатом підготовки є масиви даних у вигляді (x, y, z, f) , де f – параметр, який буде використовуватись для комплексної інтерпретації, а величини координат x, y, z змінюються в межах паралелепіпеда моделі з постійними кроками $\Delta x, \Delta y, \Delta z$.

Трансформація вхідних геолого-геофізичних даних. Для потреб комплексної тривимірної інтерпретації геолого-геофізичні дані необхідно представити в уніфікованому електронному вигляді. Це означає, що різнопланові параметри як геологічної, так і геофізичної змістовності повинні бути трансформовані належно, а саме: формалізовані геологічні параметри та геофізичні параметри у цифровому вигляді по єдиній регулярній просторовій сітці дискретизації фіксуються у вигляді масивів (баз) даних.

Зібрани геофізичні матеріали здебільшого представлені електронними таблицями довільної структури, інколи у вигляді карт і графіків. Геологічна інформація переважно існує на паперових носіях у варіантах графіків, карт, розрізів.

Стисло наведемо послідовність операцій підготовки даних для подальшого їх використання з метою проведення первинної обробки.

1. Сканування геолого-геофізичних графіків, карт, розрізів. Результати сканування записуються у вигляді окремих файлів.

2. Надалі алгоритм підготовки розгалужується залежно від типу матеріалів.

2.1. Графіки. За допомогою процедур оцифрування, що вбудовані в сучасні картографічні пакети програм (Surfer, Easy Trase), представляються у вигляді файлів ($x, f(x)$) з довільним кроком по x .

2.2. Карти. По відсканованому зображеню “наводяться” ізолінії параметра, кожній ізолінії присвоюється її ознака. У результаті отримуємо набір значень параметра $f(x, y)$ по нерегулярній сітці значень (x, y).

2.3. Геолого-геофізичні розрізи. По відсканованому зображеню наводяться границі геологічних шарів або границі зміни геофізичного параметра у вигляді замкнених полігонів, кожному з яких присвоюється його ознака. Ознакою можуть бути, наприклад, модельні значення густини або електричного опору порід, що складають шар, або якось позначена (номер, колір) геологічна характеристика тощо.

Процедура “підняття” границь на геолого-геофізичному розрізі або ізоліній на карті здійснюється переважно вручну. Автоматизовані процедури існують, але здебільшого вони не відповідають вимогам “розділивання” окремих об’єктів. Цей етап є найважчим з погляду витрат часу та ретельності виконання.

У результаті виконання вказаних операцій отримується весь комплекс даних у вигляді електронних таблиць довільної структури по нерегулярній сітці.

Первинна статистична обробка вхідних геолого-геофізичних даних проводиться з метою визначення законів їх розподілу, виявлення та вилучення з подальшої обробки ураганних значень. Обробляють за допомогою сучасних пакетів програм статистичного аналізу (Statistica, Microsoft Excel). Послідовність обробки така: розрахунок основних статистичних оцінок (дисперсія, середньоквадратичне відхилення, математичне очікування), статистична оцінка рівня завад і його відношення до рівня корисного сигналу, визначення закону розподілу та довірчого інтервалу.

Визначення закону розподілу вхідних геолого-геофізичних даних найдоцільніше проводити на основі критерію нормальності за альтернативи логнормального закону (критерій Жукова) [Жуков, 2008]. Після цього визначається довірчий інтервал $\pm 3\sigma$, де σ – середньоквадратичне відхилення випадкової величини, яке приймається як середня похибка. Йому відповідає рівень ймовірності $P(3\sigma)=0.997$. Значення даних, що виходять за ці межі, є ураганні та вважаються мало-ймовірними. Поодинокі ураганні значення не беруться до уваги під час подальшої обробки, для

групових значень (кілька значень по профілю) присвоюються числові значення на рівні $\pm 3\sigma$.

Регуляризація та бланкування вхідних геолого-геофізичних даних. Процедури фільтрації та регуляризації (з етапами інтерполяції та екстраполяції) на регулярну квадратну сітку виконуються після коригування вихідних даних відповідно до визначених меж $\pm 3\sigma$. Це необхідно, тому що дослідження різними геофізичними методами, зазвичай, проводяться по різних сітках спостережень, а для комплексної кількісної інтерпретації потрібна єдина уніфікована сітка. По завершенні регуляризації повторно оцінюють закон розподілу та відбраковують чи обмежують параметри відповідно до інтервалів $\pm 3\sigma$.

Щоб зменшити наслідки процедур екстраполяції, а також врахувати те, що польові дослідження на більшості ділянок проводяться по непрямокутній сітці спостережень, дані бланкуються відповідно до фактичної сітки спостережень по області дослідження.

Регуляризацію та бланкування даних виконують пакетом “Surfer”.

Узгодження геолого-геофізичних параметрів із зсуви небезпекою на кількісному рівні

Процедура визначення ефективних параметрів наведена нижче відповідно до [Кузьменко та ін., 2009; Крив’юк, 2012].

Обчислення функції ймовірності зсуву залежно від кута нахилу денної поверхні $f(\alpha)$. Кут нахилу поверхні ковзання β , без сумніву, значно впливає на зсуви небезпеки ділянки. Однак на практиці зручніше використовувати кут нахилу денної поверхні α , який для консеквентних зсувів приблизно дорівнює куту нахилу поверхні ковзання. У деяких геофізичних організаціях [Чебан, 2002], а також у схемах розрахунків стійкості зсувів [Ломтадзе, 1977], для оцінки зсуви небезпеки використовується параметр $\operatorname{tg} \alpha$. Однак для значних кутів (70–80 градусів), коли $\operatorname{tg} \alpha$ зростає (а отже, і зростає зсуви небезпеки) і прямує при 90 градусах до максимального значення, імовірність зсувів прямує до нуля, оскільки при куті нахилу денної поверхні 90 градусів зсуви не може бути, а більшість зсувів спостерігається при кутах 15–40 градусів. Тому саме функція густини ймовірності зсувів $f(\alpha)$, на наш погляд, об’єктивніше відображає зсуви небезпеку залежно від кута нахилу денної поверхні. Ця функція визначається сумою теоретичних законів статистичного розподілу та розраховується для кривої закону розподілу кількості зсувів за кутами нахилу денної поверхні, що визначений на основі аналізу гістограм такого розподілу для всіх зсувів, які наводяться у відповідних кадастрах для окремих територій [Кузьменко та ін., 2004].

Розрахунок потужності потенційно зсуви та визначення положення прогнозної поверхні ковзання. До геологічних параметрів належить, насамперед, потужність h зсуви (або потенційно зсуви) порід. Ця потужність визна-

чає силу тяжіння зсувних порід, сумарна складова якої, що спрямована по схилу, переміщує маси цих порід донизу по поверхні ковзання. Отже, чим більша потужність, тим більша зсувионебезпека (за незмінності всіх інших параметрів).

Найточнішим методом визначення h треба вважати сейсморозвідку МЗХ. Точність методу ВЕЗ нижча. У 2001 р. проведено дослідні роботи методом високочастотного зондування становленням електромагнітного поля у близькій зоні, який дає точніші результати порівняно з ВЕЗ завдяки більшій роздільній здатності методу [Чебан, 2002].

Для простеження поверхонь ковзання потенційно зсувних порід за даними ВЕЗ будуються та аналізуються геоелектричні розрізи, беручи до уваги диференціацію їх за електричними опорами. При цьому вводяться корективи за рельєфенної поверхні, тобто напрямок зондувань при побудовах розрізів задається перпендикулярним до денної поверхні. Потужність визначається за даними ВЕЗ як сума потужностей геоелектричних горизонтів h_i , що складають розріз. Визначення положення границі ковзання проводиться з урахуванням літологостратиграфічних даних буріння свердловин, якщо такі дані є наявні для досліджуваної ділянки.

Для оцінки потужності як параметра зсувионебезпеки треба проаналізувати її кореляцію з електричним опором. Ця кореляція повинна бути обернена.

Визначення еквівалентного опору $\rho_{екв}$ потенційно зсувної товщі. За даними кількісної інтерпретації ВЕЗ визначаються такі вихідні параметри, як h_i і ρ_i . Вони є основою для розрахунку комплексного параметра еквівалентного електричного опору ($\rho_{екв}$) зсувних товщ. Цей параметр визначається за формулою:

$$\rho_{екв} = \frac{\sum_{i=1}^{n-1} h_i}{\sum_{i=1}^{n-1} \frac{h_i}{\rho_i}}, \quad (1)$$

де i – порядковий номер потужностей шарів h зсувної товщі та відповідного їм еквівалентного опору ρ .

Проаналізувати зв'язок $\rho_{екв}$ із зсувионебезпекою можна на прикладі загальновідомої для теригенних порід формули, яка визначає зв'язок електричного опору та фізичних параметрів гірської породи:

$$\rho = K_C \cdot K_P \cdot K_O \cdot K_\phi \cdot \rho_\phi, \quad (2)$$

де K_C – коефіцієнт провідності скелету гірської породи; K_P – коефіцієнт поверхневої провідності; K_O – коефіцієнт, що характеризує об'єм порового і тріщинуватого простору; K_ϕ – коефіцієнт флюїдонасичення; ρ_ϕ – питомий електричний опір флюїду (водного розчину), що заповнює пори і тріщини.

Значення ρ_ϕ та K_C для певної ділянки досліджень є сталими. Усі інші коефіцієнти правої частини формули співвідносяться із станом зсувионебезпеки так: чим більша зсувионебезпека, тим менші значення вказаних величин. Причина тут потрійна. По-перше, зволоженість ґрунту сприяє зменшенню міцності порід і збільшує вагу потенційно зсувних порід унаслідок зростання густини вологих порід, по-друге, зменшується коефіцієнт зчеплення, по-третє, зменшується кут внутрішнього тертя. Інакше кажучи, чим більша зсувионебезпека, тим менше значення еквівалентного опору. Одним з критеріїв “ефективності” еквівалентного опору є обернений зв'язок його з h по всіх зсувних товщах ділянок.

Визначення опору підстелених порід, що мають за покрівлю поверхню ковзання, ρ_{nid} . Цей параметр визначається з геоелектричних розрізів, одержаних за методом ВЕЗ, на які нанесено поверхню ковзання, тому його враховано до вихідних параметрів. ρ_{nid} відображає пов'язані з зсувионебезпекою характеристики підстеленого шару порід, що має за покрівлю поверхню ковзання. Зменшення ρ_{nid} свідчить про зволоження та глинистість гірських порід, що призводить до зменшення коефіцієнта зчеплення та кута внутрішнього тертя, що своєю чергою призводить до зменшення сил, які втримують схил у рівновазі, і як наслідок – до зростання зсувионебезпеки.

Визначення коефіцієнта інверсії опорів K_{inv} . Якщо позначити позірний опір горизонту вище від поверхні ковзання ρ_e , то коефіцієнт інверсії опорів $K_{inv} = \rho_e / \rho_{nid}$. За відсутності зсувів, коли підстелені породи є глинами, $K_{inv} > 1$. Проте на зсувних ділянках K_{inv} повинен бути меншим за одиницю. З фізичного погляду це може пояснюватись такими причинами: 1) збільшенням опору ρ_{nid} завдяки кольматації порід уздовж поверхні ковзання (по покрівлі поверхні ковзання) під час зсуву; 2) зниженням ρ_e за рахунок вивітрювання зволожених зсувних порід; 3) зниженням ρ_e під час еродованості (розущільнення) зволожених зсувних порід. Отже, можна зазначити, що інверсія опорів характерна для ділянок, де зсув відбувся чи має відбутися найближчим часом. Коефіцієнт інверсії повинен зменшуватись зі зростанням зсувионебезпеки, враховуючи фізичне його трактування.

Отже, за даними методу ВЕЗ визначаються чотири ефективні параметри: h , $\rho_{екв}$, ρ_{nid} та K_{inv} . Відповідно до принципів комплексної інтерпретації, для розрахунку ФКП повинні бути задіяні по одному незалежному параметру з кожного методу для того, щоб не надавати окремому методу чи параметру вагової переваги під час формування ФКП. Параметр h є фізично несумісний з параметрами $\rho_{екв}$, ρ_{nid} та K_{inv} . Щодо залучення під час розрахунку ФКП останніх трьох, слід дотримуватися таких принципів. Параметр $\rho_{екв}$, відповідно до принципу його визначення, відображає характеристики, пов'язані з зсувионебезпекою, порід

усієї зсувної товщі. Оскільки при зародженні зсувів усі підготовчі процеси відбуваються в шарі динамічних деформацій [Кузьменко та ін., 2009; Чебан, 2002], то в такому випадку параметр $\rho_{екв}$ є малоінформативним; інша річ, коли процес зсувоутворення охопив уже всю масу порід, що розташовані вище від поверхні ковзання. Отже, $\rho_{екв}$, як і $K_{i\text{нв}}$, слід вважати ефективними тільки для ділянок, на яких зсув відбувся чи має відбутися найближчим часом. Ці параметри пов'язані один з одним, тому їх одночасне задіяння до розрахунку ФКП є недоречним. Для надання переваги якомусь із них необхідно проаналізувати їх кореляційний зв'язок із параметром $S_{\text{сум}}$, а також оцінити їх внесок у формування ФКП. Параметр $\rho_{ніð}$ може бути інформативним як при зародженні зсувів, так і в процесі їх розвитку, проте знову ж таки в останньому випадку слід вибрати найефективніший параметр із пари $\rho_{ніð} - K_{i\text{нв}}$. Що стосується параметрів $\rho_{екв}$ та $\rho_{ніð}$, то вони є також фізично несумісні, оскільки відображають характеристики різних горизонтів, і можуть бути залучені до розрахунку ФКП одночасно.

Визначення сумарної повздовжньої провідності $S_{\text{сум}}$. Серед параметрів ВЕЗ присутній також складовий комплексний параметр сумарної поздовжньої провідності $S_{\text{сум}}$, який розраховується для порід зсувної товщі:

$$S_{\text{сум}} = \sum \frac{h_i}{\rho_i}. \quad (3)$$

Цей параметр пов'язаний із зсувонебезпекою за якістю принципом “більше-більше”, причому є доволі виразним. Він не може використовуватись як ефективний в силу комплексності, проте він є зручним для визначення ефективності параметрів інших методів шляхом оцінки кореляційного зв'язку.

Визначення коефіцієнта анізотропії електромагнітного поля χ за даними ПІЕМПЗ. При дії механічних напружень на гірські породи, що є необхідною умовою виникнення зсувних процесів, генеруються електромагнітні імпульси. Саме на дослідженні цих імпульсів базується метод ПІЕМПЗ [Воробьев, 1980]. Величину механічних напружень у товщі порід оцінюють за допомогою вимірювання інтенсивності випромінювання електромагнітного поля (кількості імпульсів за одиницю часу в заданому частотному діапазоні). Вимірювання проводяться при двох орієнтаціях антени – упоперек та по падінню схилу. З метою виключення впливу завад ефективним параметром імпульсного електромагнітного поля доцільно вважати не саму інтенсивність випромінювання, а коефіцієнт анізотропії χ [Хархалис, 1994]:

$$\chi = \frac{J_x}{J_y}, \quad (4)$$

де J_x – сигнал, виміряний при орієнтації антени упоперек схилу; J_y – сигнал, виміряний при орієнтації антени по падінню схилу.

Доцільність застосування коефіцієнта анізотропії χ обґрунтована, по-перше, зменшенням синхронних у часі сигналів завад завдяки діленню J_x на J_y при визначенні χ , по-друге, збільшенням корисного сигналу, по-третє, виконанням вимоги представництва одного методу при комплексній інтерпретації одним параметром. При зародженні зсувів, які візуально ще не спостерігаються, основним напрямком розвитку деформацій є напрямок по падінню схилу. Отже, з збільшенням небезпеки зсувів повинен значно зростати параметр J_y і меншою мірою зростати або лишатись незмінним параметр J_x – відповідно повинен зменшуватись коефіцієнт анізотропії χ , який ми вважаємо ефективним параметром, що узгоджується зі зсувонебезпекою.

Визначення абсолютної залишкових значень природних потенціалів $|\Delta U_{\text{зal}}|$. Основним джерелом виникнення природних потенціалів на зсувонебезпечних схилах є фільтрація підземних вод у породах, що залягають вище від дзеркала ковзання. За нашою гіпотезою, електричні потенціали, що супроводжують фільтраційні потоки, виникають унаслідок двох основних причин. Перша – це наявність потенціалів течії. Другою причиною є механо-електричні перетворення, які реалізуються при зміні механічних напружень у гірських породах, що вмішують фільтраційний потік, за рахунок зміни тиску по потоку. Механізм виникнення потенціалу течії, запропонований Гельмгольцом, і пов'язується з виникненням подвійного електричного шару при адсорбції важких іонів із водного розчину стінками фільтраційного каналу. Переміщення вільних іонів внутрішньої оболонки подвійного шару еквівалентне електричному струму і приводить до виникнення природних потенціалів течії [Семенов, 1980]. Виникнення потенціалу тиску (напору) пов'язується з існуванням дифузійних потоків заряджених дефектів структури кристалічної решітки, що утворюються внаслідок порушення термодинамічної рівноваги за наявності зовнішніх сил тиску. Цей механізм фізично та аналітично обґрунтований у роботі [Іванов и др., 1991]. Сумарне фільтраційне електричне поле розглядається як суперпозиція поля течії U_1 та поля тиску U_2 :

$$U = U_1 + U_2 = (\lambda_1 + \lambda_2) \Delta P, \quad (5)$$

де ΔP – приріст гідравлічного напору; λ_1 і λ_2 – коефіцієнти фільтраційно- та механо-електричного перетворення.

Щодо знаків коефіцієнтів слід зауважити, що λ_1 має від'ємний знак у зонах інфільтрації (ділянки, що прилягають до водорозділів, де зсувів немає) і додатний знак у зонах розвантаження (ексфільтрації). По шляху фільтрації потенціал зростає. Коефіцієнт λ_2 завжди додатний.

Оскільки аномалії розташовані на схилах, то слід розглядати фонові аномалії, що пов'язані з загальним збільшенням гео- та гідростатичного тиску вниз по схилу, і локальні аномалії, що пов'язані з аномальною фільтрацією, яка зумовлює

зсувні процеси. У той же час відзначаються локальні аномалії, які узгоджуються з аномальним механічним напруженням гірських порід (додатні аномалії) або з фільтраційними потоками (від'ємні аномалії зон інфільтрації). Тому під час опрацювання карт розподілу ПЕП перший етап трансформації потенціалів полягає у вилученні регіональної аномалії. Ця аномалія диктується рельєфом. Для усунення впливу рельєфу на результати досліджень методом ПЕП розраховуються залишкові аномалії по кожній ізогіпсі денної поверхні. Спочатку розраховуються для кожної ізогіпсі середні значення ΔU_{sep} , потім залишкові:

$$\Delta U_{zal} = \Delta U_i - \Delta U_{sep}, \quad (6)$$

Кожна із залишкових аномалій "працює на зсув", тобто виконує функцію прогнозу. Для комплексної інтерпретації їх слід враховувати з однаковим знаком, тобто за абсолютною величиною. Абсолютні значення залишкових потенціалів $|\Delta U_{zal}|$, що визначені за цією методикою, є ефективними параметрами, узгодженими зі зсувонебезпекою – чим більше $|\Delta U_{zal}|$, тим більша зсувонебезпека.

Визначення граничної швидкості пружних коливань V для поверхні ковзання. Дослідження на декількох Карпатських ділянках показали, що поверхня ковзання виділяється як перша заломлююча границя, а гранична швидкість кореспондується зі швидкістю пружних хвиль у зоні покрівлі підстелених порід. Зменшення зчеплення зсувних і підстелених порід визначається насамперед літологією, тобто збільшенням вмісту глинистого матеріалу, а також їх пористістю та водонасиченістю. Отже, фактори, які "працюють на зсув", ведуть до зниження швидкості пружних хвиль V – чим менша V , тим більша зсувонебезпека. Отже, гранична швидкість пружних коливань V є ефективним параметром МЗХ.

Визначення абсолютнох залишкових значень еманації радону $|\Delta Rn|$. Досвід робіт виробничих організацій з застосування еманаційної зйомки на зсувонебезпечних схилах дає підставу стверджувати, що аномалії еманації радону відповідають наявним чи прогнозним зонам розвитку зсуву. Поясненням цьому є наявність ослаблених тріщинуватих зон у підстелених породах. Встановлено наявність на зсувонебезпечних схилах аномалій двох типів. Перший тип – це аномалії, узгоджені з положенням відомих зсувів. Ці аномалії додатні для сухих зон і від'ємні для вологонасичених порід. Другий тип аномалій узгоджений з напруженім станом гірських порід і характеризується додатними значеннями. Отже, обидва типи аномалій (високих та низьких значень еманації радону) знаходять фізичне пояснення та пов'язані зі зсувними процесами. Тому їм треба надати однакову вагу для використання при подальшій процедурі комплексної інтерпретації. Для цього необхідно виконати три послідовні процедури: 1) розрахувати середні значен-

ня еманації по ізолініях рельєфу; 2) розрахувати залишкові значення еманації:

$$Rn_{zal} = Rn_i - Rn_{sep}; \quad (7)$$

3) виділити абсолютні величини залишкових значень еманації $|Rn_{zal}|$. Процедура проведення розрахунків аналогічна розрахункам для абсолютних залишкових значень природних потенціалів $|\Delta U_{zal}|$.

Отже, абсолютні залишкові значення $|\Delta Rn|$ є ефективним параметром, який узгоджується зі зсувонебезпекою.

Визначення напруженості вторинного електромагнітного поля H_z за даними РХП. Радіовильові методи засновані на вивчені поглинання радіовиль під час їх поширення в гірських породах. Вивчення геологічної будови приповерхневих частин геологічного розрізу (до глибин 20–30 м) засноване на використанні полів радіочастот (діапазон від 10 до 30 кГц), що поширяються уздовж поверхні землі та індукують в провідних об'єктах вторинні струми. Підвищення тріщинуватості та водонасиченості порід зсувної товщі провокує збільшення напруженості вторинного електромагнітного поля H_z . Таким чином зростання зсувонебезпеки призводить до збільшення аномалії H_z .

Регуляризація та бланкування ефективних параметрів. Цей етап комплексної інтегрованої кількісної інтерпретації геолого-геофізичних даних проводиться аналогічно до етапу проведення регуляризації та бланкування вхідних геолого-геофізичних даних.

Кінцева обробка та інтерпретація геолого-геофізичних даних

Визначення законів статистичного розподілу ефективних параметрів та коригування останніх проводиться за методикою, аналогічною до визначення закону розподілу вхідних геолого-геофізичних даних.

Кореляційно-регресійний аналіз вихідних і ефективних параметрів полягає в пошуку кореляційних парних зв'язків між окремими параметрами. Розраховуються парні коефіцієнти кореляції для окремих груп вихідних та ефективних параметрів і будується матриця та графіки парних залежностей між ними.

Підтвердження ефективних параметрів, узгоджених із зсувною небезпекою. Немає сумнівів, що надійним параметром, який визначає зсувонебезпеку, є параметр сумарної поздовжньої провідності S_{cum} . Тому для кожного параметра необхідно оцінити його зв'язок з S_{cum} на рівні парної та часткової кореляції.

Метод часткової кореляції дозволяє провести "очистку" парного коефіцієнта кореляції від впливу інших параметрів, які входять у систему випадкових величин. Тобто проводиться аналіз "чистого" зв'язку між залежною та незалежною величинами при фіксованих значеннях інших незалежних величин. Розрахунок коефіцієнтів часткової парної кореляції між параметрами величин (залежною та незалежною) дозволяє виявити істинний ступінь

тісноти кореляційного зв'язку без його спотворювання одночасним впливом інших незалежних величин системи. Якщо всі величини незалежні, то парні та часткові коефіцієнти кореляції будуть рівними. Отже, порівняння цих коефіцієнтів дозволяє на якісному рівні оцінити ступінь залежності величин, для яких розраховано коефіцієнти кореляції.

По знаках кореляції між параметрами оцінюється фізична змістовність зв'язків між ними щодо відображення зсувионебезпеки на якісному рівні. Якщо така фізична змістовність присутня, то це означає, що кожний параметр містить регулярний сигнал, який корелює з тим чи іншим знаком із зсувионебезпекою.

Розрахунок функції комплексного показника. Методика розрахунку ФКП для зсувионебезпечних ділянок наведена в працях [Чебан, 2002; Кузьменко та ін., 2009; Крив'юк, 2012] та полягає в такому.

Спочатку за значеннями ефективних параметрів кожного методу підраховується контрастність аномалії сигналу γ_{ji} за формулою

$$\gamma_{ji} = \frac{A_{ji} - \bar{A}_j}{\sigma_j}, \quad (8)$$

де A_{ji} – значення j -го ефективного параметра в i -ї точці ділянки дослідження; \bar{A}_j – середнє значення j -го ефективного параметра на ділянці дослідження; σ_j – середньоквадратичне відхилення (стандарт).

$$\bar{A}_j = \frac{\sum_{i=1}^n A_{ji}}{n}, \quad (9)$$

$$\sigma_j = \sqrt{\frac{\sum_{i=1}^n (A_{ji} - \bar{A}_j)^2}{n-1}}, \quad (10)$$

де n – кількість значень j -го ефективного параметра на ділянці дослідження.

Оскільки значення контрастності параметрів γ_{ji} пронормовані за середньоквадратичним відхиленням і відповідно безрозмірні, то їх можна подати в інтегральній формі, а саме у вигляді суми ФКП у кожній точці вимірювань (Φ_i):

$$\Phi_i = \sum_{i=1}^p \gamma_{ji} - \sum_{i=1}^k \gamma_{ji}, \quad (11)$$

де p та k – кількість ефективних параметрів, які дають відповідно додатний та від'ємний ефект над аномальним об'єктом (у даному випадку – місцем можливого зсуву).

Отже, обчислення функції комплексного показника передбачає таку послідовність операцій: розрахунок контрастності аномалій сигналу по кожному окремому методу на ділянці дослідження; нормування контрастностей за середньоквадра-

тичним відхиленням; інтегральне зображення нормованих контрастностей.

Функцію комплексного показника необхідно розраховувати для декількох варіантів сполучення геофізичних, геологічних і геоморфологічних факторів.

Первинною картою результатів комплексної інтегрованої інтерпретації є карта функції комплексного показника. Цю карту необхідно проаналізувати щодо вірогідності наявних на ній аномалій. Аномалії можуть бути результатом: 1) одночасної дії сильних або слабких аномальних ефектів за двома або більше методами; 2) одночасної дії слабких аномальних ефектів за трьома і більше методами; 3) дії сильного аномального ефекту за одним методом. У перших двох випадках аномалію ФКП слід вважати вірогідною. У третьому випадку – невірогідною.

При аналізі карти ФКП слід звернути увагу на те, що контур реальних досліджень і прямокутний контур розрахунку ФКП не збігаються. Контур розрахунку ФКП, враховуючи вимоги існуючих розрахункових і сервісних програмних комплексів, повинен бути прямокутним. Це змушує під час побудови квадратної сітки розташування параметрів комплексної інтерпретації звертатись до процедури регуляризації, яка включає інтерполяцію та екстраполяцію. Саме некоректністю процедури екстраполяції пояснюється наявність хибних аномалій поза контуром досліджень.

На основі аналізу карт ФКП вибирають найоптимальнішу функцію комплексного показника.

Оцінка внеску параметрів, визначених на основі інтерпретації даних геолого-геофізичних досліджень, у формування ФКП. Для об'єктивної оцінки зсувионебезпеки та визначення раціонального комплексу методів досліджень необхідно порахувати внесок кожного методу у формування ФКП. Для цього достатньо визначити коефіцієнти парної кореляції ФКП із кожним ефективним параметром та пронормувати ці коефіцієнти так, щоб в сумі їх по кожному варіанту ФКП було 100 %.

Процедура нормування передбачає знаходження суми всіх коефіцієнтів парної кореляції для певного варіанта розрахунку ФКП, ділення кожного коефіцієнта на цю суму (тобто приведення суми до одиниці, що дорівнює 100%) та відображення його у відсотках.

Розрахунок критерію ймовірності розвитку зсуви. Наступним етапом є розробка алгоритму переходу від функції комплексного показника до ймовірності зсуви. Побудуємо цей алгоритм так. Відомо, що дисперсія суми випадкових некорельованих величин (у даному випадку ефективних параметрів, узгоджених із зсувионебезпекою), розраховується за формулою

$$D = \sum_{j=1}^m D_j, \quad (12)$$

де m – кількість взятих для розрахунку ФКП ефективних параметрів ($m = p + k$).

Оскільки величини контрастностей нормалізовані відносно стандарту, то дисперсія кожного із ефективних параметрів 1. Тоді дисперсія, що відповідає i -й ФКП, буде:

$$D_{\phi} = m D(\gamma_j) = m. \quad (13)$$

Відповідний стандарт:

$$\sigma_{\phi} = \sqrt{m}. \quad (14)$$

Аномальна границя функції комплексного показника Φ_a визначається відповідно до граници $\pm 3\sigma$, якою враховується дисперсія параметрів. Якщо нижню аномальну границю брати для критерію 3σ , як це прийнято в геології, то одержимо

$$\Phi_a = 3\sigma_{\phi} = \pm 3\sqrt{m}. \quad (15)$$

Це означає, що нормальнa випадкова величина відхиляється за абсолютною значенням від свого математичного очікування не більше ніж на 3σ . Відповідно до розрахунків для функції Лапласа можна стверджувати, що вказане відхилення не перевищує 3σ з імовірністю 0.997. Якщо прийняти критерій у 2σ або σ , то відповідна імовірність буде 0.95 або 0.623. Тут стає зрозумілим, що вимога наближення Φ_a до критерію 3σ є занадто жорсткою, адже імовірність зсуви небезпеки в 0.95 і навіть в 0.9 є достатньо високою. Саме цю імовірність, а не абстрактну ФКП, треба визначати як остаточний прогнозний параметр.

Тому сформулюємо задачу інакше: за відомого розподілу Φ_i та відомого $\sigma_{\phi} = \sqrt{m}$ розрахувати імовірність відхилення Φ від свого математичного очікування. Саме цю імовірність P нижче розглянемо як кількісну оцінку зсуви небезпеки. Для визначення P необхідно виконати два послідовних кроки:

- 1) порахувати значення Φ_i / \sqrt{m} для кожної i -ї точки спостереження;
- 2) розглядаючи ці значення як аргумент, визначити імовірність P відповідно до функції Лапласа:

$$P = \Lambda\left(\Phi_i / \sqrt{m}\right). \quad (16)$$

Значення P далі розглядається як критерій імовірності зсуви.

Визначення довірчої нижньої границі критерію імовірності та виділення аномальних зон, які відповідають зсуви небезпекі. Важливим є питання, з якого рівня ФКП і відповідно P слід зважати на зсуви небезпеку, тобто яке значення P є граничним для зсуви небезпеки. Якщо це з'ясувати, то аномальними обґрунтовано будуть вважатися зони з P , що є більшим від граничного. Для визначення граничного P необхідно використати розподіл значень ФКП по ділянці. Для цих значень ФКП будеться інтегральна крива розподілу імовірності ФКП (рис. 2). За цією кривою виділяються три рівні ФКП, для яких аномальні значення станов-

вітимуть 5, 10 і 25 відсотків усіх значень ФКП, тобто виділяється значення ФКП, для яких $P(x) = 0.95; 0.9; 0.75$. Значення таких ФКП відповідно будуть 1.59; 1.24; 0.65 (див. рис. 2). Загальноприйнятим у геології є рівень імовірності для прийняття рішень 0.9 або 0.95 – залежно від відповідальності рішень [Нікітин, 1986] (чим більша відповідальність, тим меншим є рівень імовірності). Нехай, у даному випадку, відповідальність є високою, тому приймаємо для рішень імовірність 0.9, якому відповідає значення ФКП 1.24. Беремо до уваги загальноприйнятій при геофізичних дослідженнях рівень похибки 10 %, після чого робимо остаточний висновок – значення $\Phi_a \geq 1.12$ вважаються аномальними, а значення $\Phi_a < 1.12$ – фоновими.

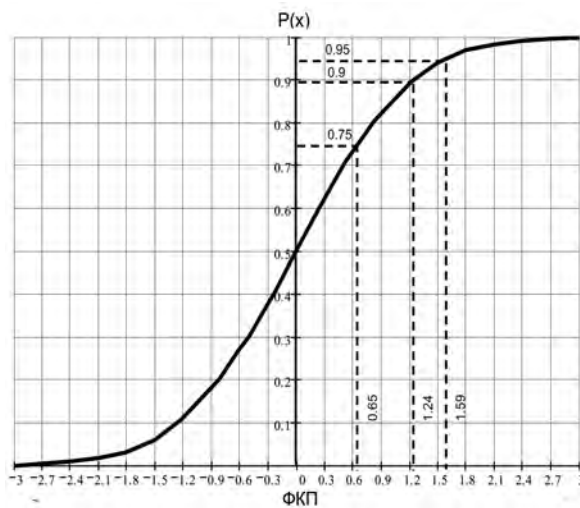


Рис. 2. Інтегральна крива розподілу імовірностей функції комплексного показника

Додатковим критерієм виділення аномалій, що узгоджується зі зсуви, який прогнозується, вважається також підтвердження її як мінімум трьома ефективними геолого-геофізичними та геоморфологічними параметрами.

Трансформування розподілу критерію імовірності зсуви у тривимірну модель. Тривимірні побудови є необхідною складовою та завершальним етапом подання геолого-геофізичної інформації, оскільки надають узагальнену картину результатів комплексної інтерпретації. 3D візуалізація дає можливість порівнювати геофізичну інформацію з інформацією інших видів досліджень (наприклад, геологічних) з метою оцінки вірогідності результатів інтерпретації, наочно та зрозуміло показати приуроченість аномалій до певних ділянок на місцевості. 3D побудови є інформативнішими, тобто на стандартному аркуші дозволяють подати максимум інформації в зручному для аналізу вигляді. Основними з таких побудов є ізометрична та ортогональна проекції (рис. 3).

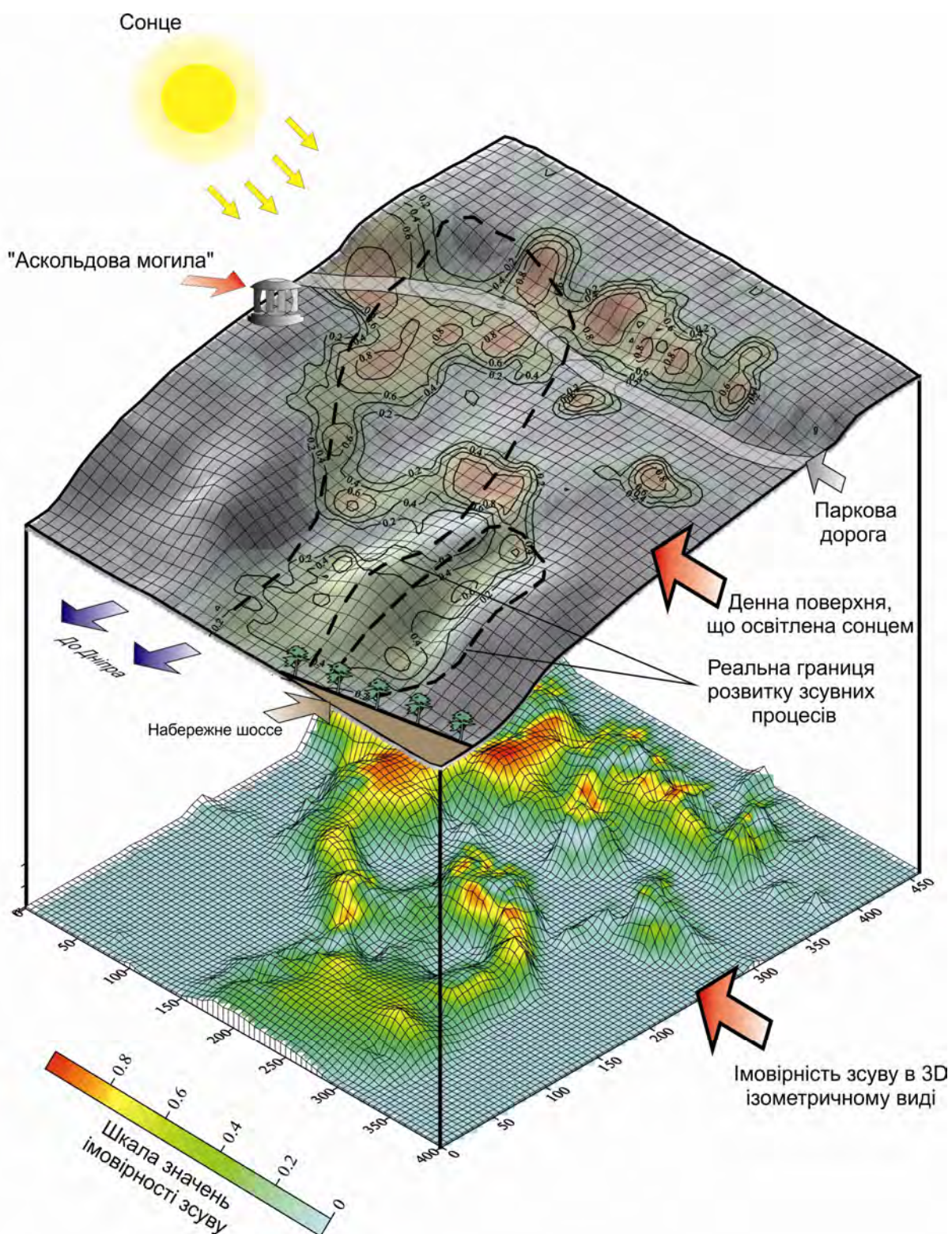


Рис. 3. Проекція критерію ймовірності розвитку зсуву на денну поверхню (ізометрія, “погляд з правого боку”). Ділянка Правобережна, м. Київ

Висновки

Розроблено методику та наведено детальний алгоритм проведення комплексної інтегрованої кількісної інтерпретації геолого-геофізичних даних, який передбачає прогнозування зсувних процесів на кількісному ймовірнісному рівні з використанням

функції комплексного показника ефективних параметрів, узгоджених із зсуви небезпекою.

Основним комплексом геофізичних методів дослідження зсувних процесів слід вважати такий: метод вертикального електричного зондування, метод природного імпульсного електромагнітного

поля Землі та метод природного електричного поля. Цей комплекс за необхідності деталізації можна доповнювати додатковими методами: заломлених хвиль, радіохвильового просвічування та еманаційної зйомки.

За допомогою наведеної методики досліджено значну кількість зсуvinих та зсуво-небезпечних ділянок на забудованих територіях і в умовах проходження магістральних трубопроводів у Івано-Франківській, Чернівецькій, Закарпатській, Одеській, Харківській областях та на території Південного берега Криму.

Література

- Вахромеев Г.С. Основы методологии комплексирования геофизических исследований при поисках рудных месторождений. – М.: Недра, 1978. – 152 с.
- Воробьев А.А. Равновесие и преобразование видов энергии в недрах. – Томск: Изд-во Томского ун-та, 1980. – 211 с.
- Геофизичний моніторинг небезпечних геологічних процесів та екологічного стану середовища: тези доповідей II Міжнар. наук. конф., Київ, 8–10 жовт. 2001 р. – К.: КНУ ім. Т. Шевченка, 2001. – 74 с.
- Дослідження зсуvinих процесів геофізичними методами: монографія / Е.Д. Кузьменко, А.Ф. Безсмертний, О.П. Вдовина, І.В. Крив'юк, В.Д. Чебан, Л.В. Штогрин; за ред. Е.Д. Кузьменка. – Івано-Франківськ: ІФНТУНГ, 2009. – 294 с.
- Жуков М.Н. Математична статистика і обробка геологічних даних: підручник / М.Н. Жуков. – К.: ВПЦ "Київський університет", 2008. – 518 с.
- Изучение оползней геофизическими методами / Н.Н. Горяинов, А.Н. Боголюбов, Н.М. Варламов и др. – М.: Недра, 1987. – 157 с.
- Карпатські зсуви: деякі геоморфологічні характеристики та зв'язок їх з літологією / Е.Д. Кузьменко.

менко, П.В. Блінов, О.М. Карпенко та ін. – Геоінформатика. – 2004. – № 1. – С. 74–83.

Крив'юк І.В. Визначення зсуvinої небезпеки локального рівня з використанням геофізичних методів. Автореф. дис... к. геол. наук. – Київ: КНУ ім. Т. Шевченка. – 2012. – 19 с.

Кузьменко Э.Д. Геофизические методы в системе пространственного прогнозирования оползней и их информативность // Мониторинг небезпечных геологических процессов та екологічного стану середовища. IV Міжнар. наук. конф.: тези доп. – К.: Вид-во "Обрій". – 2003. – С. 82–84.

Ломтадзе В.Д. Инженерная геология. Инженерная геодинамика. – Л.: Недра, 1977. – 479 с.

Некоторые выводы из опыта проведения геофизических работ на оползневых участках / Э.Д. Кузьменко, Е.П. Вдовина, В.Д. Чебан, Д.Н. Лящук // Строительство и техногенная безопасность: сб. науч. тр. – Симферополь: КАПКС. – 2002. – Вып. 6. – С. 127–130.

Никитин А.А. Теоретические основы обработки геофизической информации. – М.: Недра, 1986. – 342 с.

О геомеханической природе потенциалов электрического поля в земной коре / В.В. Иванов, Б.Г. Тарасов, Э.Д. Кузьменко, Н.В. Гордийчук // Изв. ВУЗов. Геология и разведка. – 1991. – № 3. – С. 101–104.

Семенов А.С. Электроразведка методом естественного электрического поля. – М.: Недра. 1980. – 446 с.

Хархалис Н.Р. Особенности проявления естественного импульсного электромагнитного излучения на оползневом склоне // Геофиз. журн. – 1994. – Т. 16, № 4 – С. 58–61.

Чебан В.Д. Комплекс геофізичних методів прогнозування зсуvin на прикладі Закарпаття. Автореф. дис... к. геол. наук. – Івано-Франківськ: ІФНТУНГ. – 2002. – 19 с.

РАЗРАБОТКА МЕТОДИКИ ПРОГНОЗИРОВАНИЯ ОПОЛЗНЕЙ С ПРИМЕНЕНИЕМ ГЕОФИЗИЧЕСКИХ МЕТОДОВ

Э.Д. Кузьменко, И.В. Кривюк, Л.В. Штогрин

Обоснована целесообразность использования комплексной интегрированной количественной интерпретации геолого-геофизических данных при прогнозировании оползневых процессов с применением геофизических методов. Такой подход предусматривает прогнозирование оползневых процессов на количественном вероятностном уровне с использованием функции комплексного показателя эффективных параметров, согласованных с оползневой опасностью. Выделен основной комплекс геофизических методов исследования оползневых процессов: метод вертикального электрического зондирования, метод естественного импульсного электромагнитного поля Земли и метод естественного электрического поля. Этот комплекс при необходимости детализации может дополняться другими методами: заломленных волн, радиоволнового просвечивания и эманационной съемки. Приведен детальный алгоритм проведения комплексной интегрированной количественной интерпретации геолого-геофизических данных. Обоснованы необходимые для комплексной интерпретации геолого-геофизические параметры, принципы трансформации входных и исходных параметров в эффективные. Геолого-геофизические параметры согласованы с оползневой опасностью на количественном уровне.

Ключевые слова: комплексная интегрированная количественная интерпретация; функция комплексного показателя; критерий вероятности развития оползней; геолого-геофизические данные; эффективные параметры.

**DEVELOPMENT OF THE TECHNIQUE OF LANDSLIDES FORECASTING
WITH THE APPLICATION OF GEOPHYSICAL METHODS****E.D. Kuzmenko, I.V. Kryvjuk, L.V. Shtogryn**

The appropriateness of use of complex integrated quantitative interpretation of geological and geophysical data for landslide processes forecasting with application of geophysical methods is proved. Such approach provides landslide processes forecasting at a quantitative probabilistic level with the use of function of a complex index of the effective parameters which are coordinated with landslide danger. The basic complex of geophysical methods of study of landslide processes is determined: a method of vertical electrical sounding, a method of a natural impulse electromagnetic field of the Earth and a method of natural electric field. At necessity of detailed elaboration this complex can be supplemented with additional methods: refraction shooting, radio wave raying and emanation survey. The detailed algorithm of carrying out of the complex integrated quantitative interpretation of the geological and geophysical data is resulted. Geological and geophysical parameters which are necessary for complex interpretation as well as principles of transformation of entrance and initial parameters into the effective are proved. Geological and geophysical parameters are coordinated with the landslide danger at a quantitative level.

Key words: the complex integrated quantitative interpretation; the function of a complex index; the criterion of probability of development of landslides; the geological-geophysical data; effective parameters.

*Івано-Франківський національний технічний університет нафти і газу,
м. Івано-Франківськ*

Надійшла 6.06.2013